

УДК 541.49:548.736:542.952.6

**КРИСТАЛЛИЧЕСКАЯ И МОЛЕКУЛЯРНАЯ СТРУКТУРА  
СОЕДИНЕНИЯ  $[Zn(HL)Cl] \cdot EtOH$ ,  
( $H_2L$  = ХИРАЛЬНЫЙ *bis*(МЕНТАНОВЫЙ) ПРОПИЛЕНДИАМИНОДИОКСИМ)**

Л.А. Глинская<sup>1</sup>, З.А. Савельева<sup>1</sup>, С.Н. Бизяев<sup>2</sup>, А.В. Ткачев<sup>2</sup>, С.В. Ларионов<sup>1</sup>

<sup>1</sup>Институт неорганической химии им. А.В. Николаева СО РАН, Новосибирск, e-mail: glinsk@niic.nsc.ru

<sup>2</sup>Новосибирский институт органической химии им. Н.Н. Ворожцова СО РАН

Статья поступила 6 октября 2011 г.

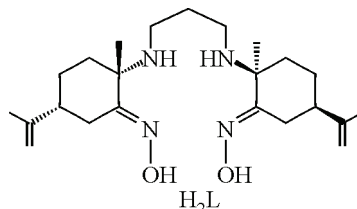
С доработки — 26 апреля 2012 г.

Выращены монокристаллы и по данным РСА (150 К, автодифрактометр Bruker X8 ApeX CCD,  $MoK_{\alpha}$ -излучение) определена кристаллическая структура сольваты — соединения  $[Zn(HL)Cl] \cdot EtOH$ . Кристаллы триклинические, размеры элементарной ячейки:  $a = 7,4755(4)$ ,  $b = 13,9701(11)$ ,  $c = 14,4593(19)$  Å,  $\alpha = 82,277(2)$ ,  $\beta = 75,410(2)$ ,  $\gamma = 75,356(1)$ °, пр. гр.  $P1$ . В структуре сольваты содержатся две кристаллографически независимые молекулы комплекса  $[Zn(HL)Cl]$  и две некоординированные молекулы этанола. Ионы  $Zn^{2+}$  в каждой молекуле координируют атомы N тетрадентатных хелатообразующих лигандов — анионов  $HL^-$  и атом Cl. Полиэдры  $ClN_4$  — искаженные тетрагональные пирамиды. Молекулы  $EtOH$  образуют с молекулами комплексов H-связи, способствующие образованию цепочек вдоль оси  $x$ .

**Ключевые слова:** комплекс, сольват, цинк(II), *bis*(ментановый) пропилендиаминодиоксим, структура.

Диоксимы относятся к числу классических лигандов координационной химии [ 1—4 ]. Получено и изучено большое число комплексов с этими органическими реагентами. Вместе с тем интерес к синтезу и исследованию строения координационных соединений металлов с лигандами, содержащими оксимные группы, не ослабевает. Такие соединения обладают функциональными свойствами, интересными для аналитической химии, экстракции, бионеорганической химии, химии материалов. В литературе отсутствовали данные о структуре комплексов металлов с хиральными диоксимами — производными природных терпеноидов. Мы получили соединения хлоридов Ni(II), Co(II), Co(III), Cu(II) с рядом диоксимов на основе природных терпеноидов  $\alpha$ -пинена, (+)-3-карена, лимонена и исследовали их строение методом РСА [ 5, 6 ]. Так, при взаимодействии хирального *bis*(ментанового) пропилендиаминодиоксина ( $H_2L$ ) в неводных средах с хлоридами Cu(II) и Pd(II) выделены ионный комплекс  $[Cu(H_2L)Cl]_2[CuCl_2]Cl$  [ 7 ] и молекулярный комплекс  $Pd_2(H_2L)Cl_4$  [ 8 ], которые по данным РСА содержат координированную молекулу  $H_2L$ . Однако в результате реакции  $H_2L$  с  $CoCl_2$  образовался разнолигандный одноядерный комплекс Co(III) состава  $[Co(HL)Cl_2]$ , содержащий в качестве лиганда анион  $HL^-$  [ 9 ]. В связи с обнаруженным отличием в характере взаимодействия  $H_2L$  с хлоридами переходных металлов целесообразно получение данных о строении комплексов  $H_2L$  с другими *d*-элементами.

Цель данной работы — исследование структуры соединения — продукта взаимодействия  $H_2L$  с  $ZnCl_2$ .



## Таблица 1

Кристаллографические характеристики, детали эксперимента и уточнения структуры соединения I

Соединение	I
Эмпирическая формула	C <sub>25</sub> H <sub>45</sub> ClN <sub>4</sub> O <sub>3</sub> Zn
Молекулярная масса	550,47
Сингония	Триклинная
Пространственная группа	P1
<i>a</i> , <i>b</i> , <i>c</i> , Å	7,4755(4), 13,9701(11), 14,4593(19)
α, β, γ, град.	82,277(2), 75,410(2), 75,356(1)
<i>V</i> , Å <sup>3</sup>	1409,8(2)
<i>Z</i> ; <i>d</i> <sub>выч</sub> , г/см <sup>3</sup>	2; 1,297
μ, мм <sup>-1</sup>	0,997
Размеры кристалла, мм	0,41×0,07×0,06
Область сканирования, θ, град.	2,02—26,00
Число измер. / независ. отражений	9447 / 8316
<i>R</i> (int)	0,0181
Число отражений с <i>I</i> > 2σ( <i>I</i> )	7441
Число уточняемых параметров	709
GOOF по <i>F</i> <sup>2</sup>	0,908
<i>R</i> -фактор, <i>I</i> > 2σ( <i>I</i> ) <i>R</i> <sub>1</sub> , <i>wR</i> <sub>2</sub>	0,0294, 0,0649
<i>R</i> -фактор (по всем <i>I</i> <sub>hkl</sub> ) <i>R</i> <sub>1</sub> , <i>wR</i> <sub>2</sub>	0,0355, 0,0666
Параметр абсолютной структуры	0,011(7)
Остаточная электронная плотность (max / min), е·Å <sup>-3</sup>	0,514 / -0,465

## ЭКСПЕРИМЕНТАЛЬНАЯ ЧАСТЬ

Реагент H<sub>2</sub>L (N,N'-бис-{(1S,4R)-2[(E)-гидроксиимино]-4-изопропенил-1-метилциклогексан-1-ил}-1,3-пропилендиамин) получали по методике [10], [α]<sub>578</sub><sup>20</sup> + 71 (с 0,3, MeOH). Для синтеза использовали ZnCl<sub>2</sub> квалификации ЧДА, EtOH — реагент, CH<sub>2</sub>Cl<sub>2</sub> квалификации ХЧ.

К раствору 0,027 г (0,2 ммоля) ZnCl<sub>2</sub> в 4 мл EtOH добавили раствор 0,081 г (0,2 ммоля) H<sub>2</sub>L в 6 мл CH<sub>2</sub>Cl<sub>2</sub>, затем смесь перемешивали. Полученный раствор фильтровали и оставляли на ночь в бюксе с приоткрытой крышкой, затем бюкс закрывали и оставляли на 2 суток. Образовались кристаллы соединения [Zn(HL)Cl]·EtOH (хлоро(N,N'-бис-{(1S,4R)-2[(E)-гидроксиимино]-4-изопренил-1-метилциклогексан-1-ил}-1,3-пропилендиаминато)цинк-этанол) (I), пригодные для РСА.

Для РСА отобрали бесцветный прозрачный монокристалл удлиненной призматической формы. Параметры элементарной ячейки и интенсивности рефлексов измеряли при низкой температуре (150 K) на автодифрактометре Bruker X8 Apex CCD, оснащенном двухкоординатным детектором, по стандартной методике (MoK<sub>α</sub>-излучение, λ = 0,71073 Å, графитовый монохроматор). Кристаллографические характеристики, детали рентгеновского дифракционного эксперимента и уточнения структуры соединения I приведены в табл. 1. Структура решена прямым методом и уточнена полноматричным МНК по *F*<sup>2</sup> в анизотропном для неводородных атомов приближении по комплексу программ SHELXL-97 [11]. В процессе уточнения структуры на разностном синтезе электронной плотности Δρ(*xyz*) были выявлены дополнительные пики, помимо идентифицированных как атомы молекул комплекса [Zn(HL)Cl]. Учитывая расположение дополнительных пиков, их величину и используемые исходные реагенты, они были интерпретированы как атомы двух сортов молекул EtOH. Позиции всех атомов H в структуре рассчитаны геометрически и включены в уточнение в изотропном приближении совместно с неводородными атомами. Окончательные значения основных межатомных расстояний приве-

Таблица 2

Основные межатомные расстояния ( $d$ , Å) в структуре I

Связь	$d$ , Å	Связь	$d$ , Å	Связь	$d$ , Å	Связь	$d$ , Å
Zn(1)—N(2)	2,054(3)	N(4)—C(13)	1,484(4)	Zn(2)—N(8)	2,091(3)	N(8)—C(36)	1,481(4)
Zn(1)—N(3)	2,075(3)	N(4)—C(14)	1,486(4)	Zn(2)—N(6)	2,099(3)	N(8)—C(37)	1,519(4)
Zn(1)—N(1)	2,116(3)	C(5)—C(7)	1,519(5)	Zn(2)—N(5)	2,105(3)	C(28)—C(30)	1,496(5)
Zn(1)—N(4)	2,147(3)	C(7)—C(9)	1,305(5)	Zn(2)—N(7)	2,135(3)	C(30)—C(32)	1,338(5)
Zn(1)—Cl(1)	2,2566(9)	C(7)—C(8)	1,513(5)	Zn(2)—Cl(2)	2,2297(9)	C(30)—C(31)	1,518(5)
O(1)—N(1)	1,397(3)	C(17)—C(20)	1,505(5)	O(3)—N(5)	1,380(3)	C(40)—C(43)	1,498(5)
O(2)—N(2)	1,371(3)	C(20)—C(22)	1,324(5)	O(4)—N(6)	1,351(3)	C(43)—C(45)	1,317(6)
N(1)—C(1)	1,276(4)	C(20)—C(21)	1,525(5)	N(5)—C(24)	1,298(4)	C(43)—C(44)	1,472(7)
N(2)—C(15)	1,291(4)	O(1a)—C(1a)	1,422(5)	N(6)—C(38)	1,290(4)	O(1b)—C(1b)	1,401(5)
N(3)—C(2)	1,500(4)	C(1a)—C(2a)	1,443(7)	N(7)—C(34)	1,491(4)	C(1b)—C(2b)	1,477(7)
N(3)—C(11)	1,505(4)			N(7)—C(25)	1,498(4)		

Примечание. Расстояния C—C в циклах молекул изменяются в интервале 1,492(4)–1,573(5) Å.

дены в табл. 2. Полные таблицы координат атомов, длин связей и валентных углов депонированы в Кембриджской базе структурных данных (CCDC № 846883) и могут быть получены у авторов.

## РЕЗУЛЬТАТЫ И ИХ ОБСУЖДЕНИЕ

Результаты РСА соединения I свидетельствуют, что при взаимодействии  $\text{H}_2\text{L}$  с  $\text{ZnCl}_2$  в смешанном растворителе  $\text{EtOH}—\text{CH}_2\text{Cl}_2$  ионы  $\text{Zn}^{2+}$  координируют не молекулы  $\text{H}_2\text{L}$ , а анионы  $\text{HL}^-$ . Следовательно, поведение  $\text{H}_2\text{L}$  при реакции с  $\text{ZnCl}_2$  такое же, как в случае реакции с  $\text{CoCl}_2$ , которая сопровождается окислением  $\text{Co}(\text{II})$  [9].

В кристаллической структуре соединения I содержатся две кристаллографически независимые молекулы одноядерного комплекса  $[\text{Zn}(\text{HL})\text{Cl}]$  и две некоординированные молекулы  $\text{EtOH}$ . Таким образом, соединение I является сольватом. Строение одной из двух независимых, но подобных друг другу молекул комплекса, все атомы которых располагаются в общих позициях, показано на рис. 1.

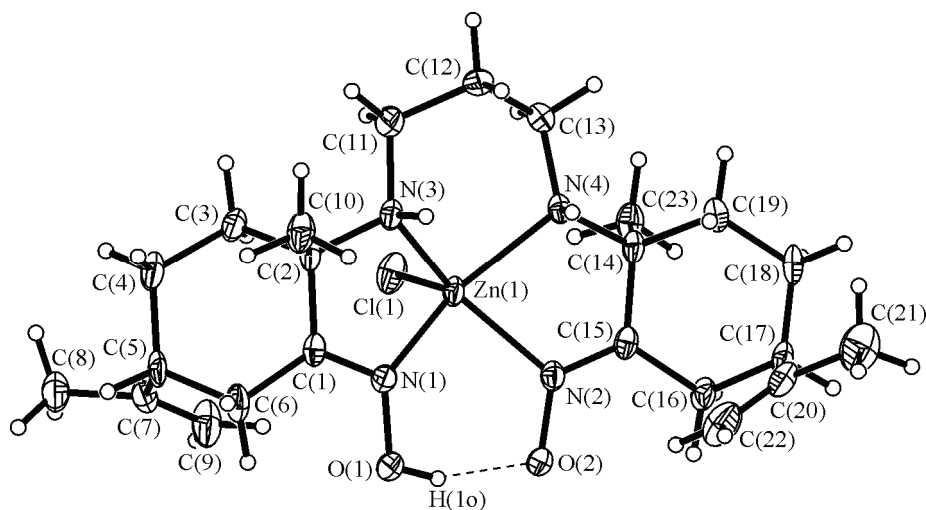


Рис. 1. Строение одной ацентричной молекулы комплекса  $[\text{Zn}(\text{HL})\text{Cl}]$  с нумерацией неводородных атомов. Эллипсоиды тепловых колебаний показаны на уровне 50%-й вероятности

Таблица 3

Характеристика циклов в молекулах комплекса  $[Zn(HL)Cl]$ 

Атомы, составляющие плоский фрагмент цикла	Среднее отклонение атомов от плоскости фрагмента, Å	Отклонение атомов цикла от плоскости фрагмента, Å	Конформация
Молекула 1			
N(1)N(2)N(3)N(4)	0,042(1)	Zn(1); 0,749(1)	
N(1)N(3)C(1)C(2)	0,006(1)	Zn(1); 0,779(5)	Конверт
N(1)N(2)O(1)O(2)H(1o)	0,022(1)	Zn(1); 0,664(4)	Конверт
N(2)N(4)C(14)C(15)	0,082(1)	Zn(1); 0,729(5)	Конверт
N(3)N(4)C(11)C(13)	0,002(2)	Zn(1); -1,174(4) C(12); 0,686(5)	Кресло
C(1)C(2)C(4)C(5)	0,016(2)	C(3); -0,675(5) C(6); 0,571(5)	Кресло
C(14)C(19)C(16)C(17)	0,013(2)	C(15); 0,532(5) C(18); -0,699(5)	Кресло
Молекула 2			
N(5)N(6)N(7)N(8)	0,003(1)	Zn(2); 0,739(1)	
N(5)N(6)O(3)O(4)H(3o)	0,053(1)	Zn(2); 0,663(4)	Конверт
N(5)N(7)C(24)C(25)	0,009(2)	Zn(2); 0,765(5)	Конверт
N(6)N(8)C(37)C(38)	0,079(2)	Zn(2); 0,689(5)	Конверт
N(7)N(8)C(34)C(36)	0,007(2)	Zn(2); 1,187(4) C(35); -0,658(5)	Кресло
C(24)C(25)C(27)C(28)	0,012(2)	C(26); 0,684(5) C(29); -0,580(5)	Кресло
C(37)C(42)C(39)C(40)	0,020(2)	C(38); -0,527(5) C(41); 0,698(5)	Кресло

В независимых молекулах комплекса  $[Zn(HL)Cl]$  координационные полиэдры  $ClN_4$  атомов Zn — тетрагональные пирамиды. Четыре атома N тетрадентатных хелатообразующих лигандов — анионов  $HL^-$  образуют практически плоские основания пирамид ( $N\dots N$  2,593(4)—2,964(4) Å) со среднеквадратичным отклонением от плоскостей атомов N в 0,042(1) и 0,003(1) Å. Аксидальные вершины пирамид занимают атомы Cl(1) и Cl(2). Атомы Zn(1) и Zn(2) смещены из плоскостей оснований к вершинам пирамид на 0,749(1) и 0,739(1) Å, соответственно в молекулах 1 и 2 комплекса. Расстояния Zn—N изменяются в интервале 2,054(3)—2,147(3) Å, расстояния Zn(1)—Cl(1) 2,2566(9), Zn(2)—Cl(2) 2,2297(9) Å. Длины связей в координационных узлах комплекса  $[Zn(HL)Cl]$  близки к длинам связей, найденным для комплексного катиона  $[Cu(H_2L)Cl]^+$  [7] (ионные радиусы Zn и Cu близки [12]). При координации  $HL^-$  к иону  $Zn^{2+}$  происходит замыкание двух пятичленных хелатных циклов  $ZnN_2C_2$  и шестичленного хелатного цикла  $ZnN_2C_3$ . Сильная внутримолекулярная H-связь O—H...O между атомами кислорода O(1) и O(3) оксимных групп и O(2), O(4) депротонированных оксимных групп приводит к замыканию дополнительных H-циклов (O(1)...O(2) и O(3)...O(4) 2,566(4) и 2,562(3) Å, углы O(1)H(1o)O(2) и O(3)H(3o)O(4) равны 158,4 и 161,3° соответственно). Хелатные циклы и шестичленные карбоциклы заметно деформированы. Детали расчета конформаций циклов приведены в табл. 3.

Характер упаковки молекул комплекса  $[Zn(HL)Cl]$  и молекул EtOH в структуре I представлен в проекции вдоль короткой оси x на плоскость (100) (рис. 2). Кратчайшие контакты между соседними молекулами комплекса  $[Zn(HL)Cl]$  соответствуют расстояниям O(3)...C(22) = 3,490(5), Cl(2)...C(23) = 3,740(5) Å, которые превышают сумму ван-дер-ваальсовых радиусов

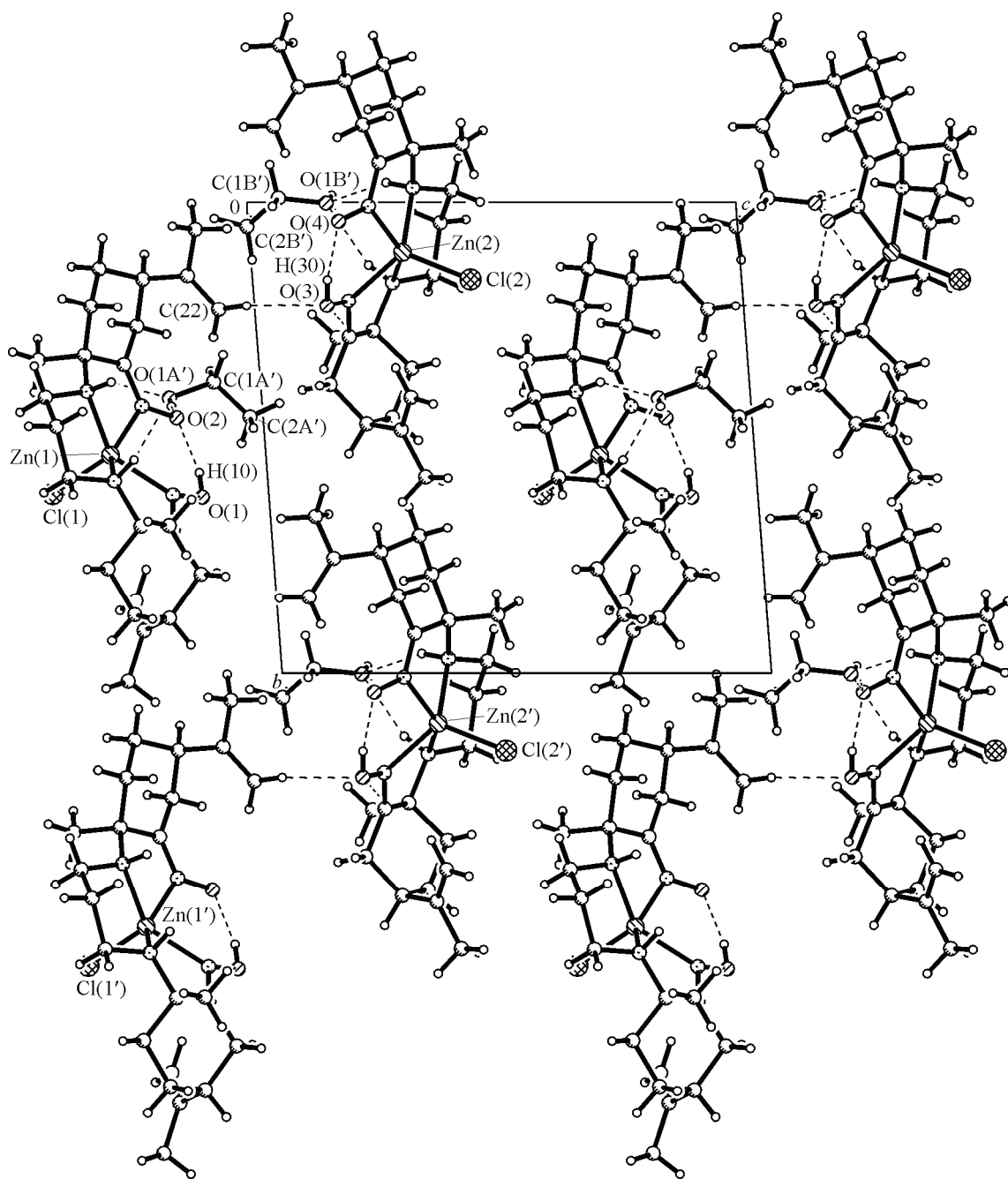


Рис. 2. Упаковка молекул в структуре соединения I в проекции на плоскость (100).  
Штриховыми линиями показаны водородные связи

атомов. Следовательно, взаимодействия между молекулами комплексов в кристалле очень слабые. Можно отметить, что молекулы 1 и 2 комплекса в структуре располагаются на двух уровнях вдоль оси  $z$ : на одном уровне молекулы 1 с центральным атомом Zn(1) и молекулы EtOH (*a*), а на другом уровне — молекулы 2 с центральным атомом Zn(2) и молекулы EtOH (*b*). На рис. 3 представлен фрагмент упаковки молекул 1 комплекса и молекул EtOH (*a*) в одном из слоев вдоль направления [100]. Молекулы EtOH (*a*), расположенные вблизи молекул 1 комплекса, образуют с ними заметные H-связи. Так, атомы O(1a) молекулы EtOH образуют водородные связи с атомами O и N соседних молекул комплекса. Две H-связи O(1a)...H(3)—N(3) и O(1a)...H(4)—N(4) (O(1a)...N(3) 2,978(4), O(1a)...N(4) 3,038(5) Å) направлены к одной моле-

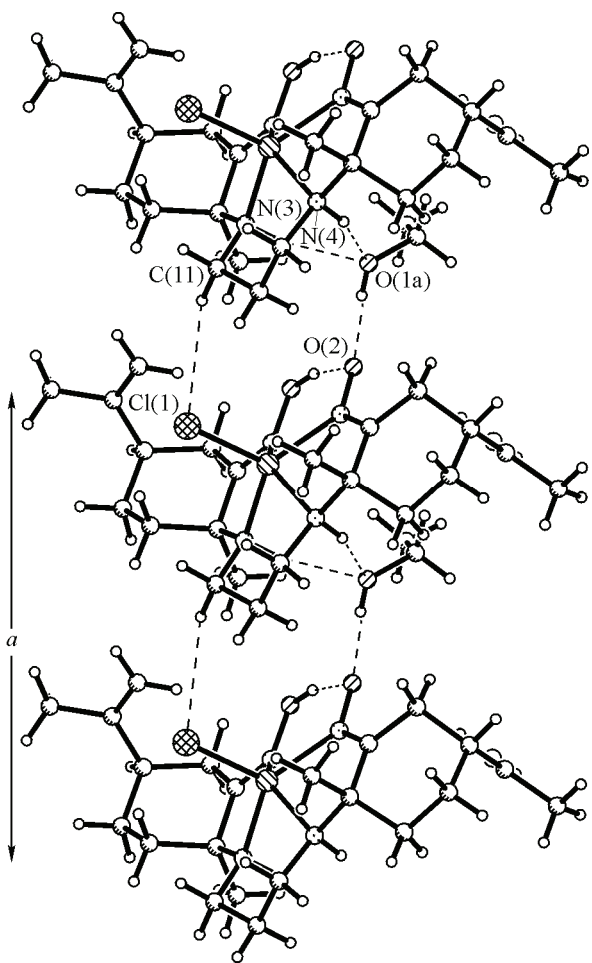


Рис. 3. Цепочка молекул 1 комплекса  $[\text{Zn}(\text{HL})\text{Cl}]$  и молекул  $\text{EtOH}$  (a) вдоль направления [100]. Показано образование цепочки за счет сильных водородных связей  $\text{O}(1\text{a})-\text{H}(1\text{a})\dots\text{O}(2)$ ,  $\text{O}(1\text{a})\dots\text{O}(2)$  2,631(4) Å, подкрепленных более слабыми H-связями  $\text{C}(11)-\text{H}(11\text{a})\dots\text{Cl}(1)$  при  $\text{C}(11)\dots\text{Cl}(1)$  3,760(4) Å

куле комплекса, а сильная H-связь  $\text{O}(1\text{a})-\text{H}(1\text{a})\dots\text{O}(2)$  при расстоянии  $\text{O}(1\text{a})\dots\text{O}(2)=2,631(4)$  Å и угле  $\text{O}(1\text{a})\text{H}(1\text{o})\text{O}(2)=174,5^\circ$  направлена к соседней трансляционной вдоль оси  $x$  молекуле комплекса, образуя тем самым цепочку вдоль этого направления. Аналогичная ситуация имеет место и при упаковке молекул второго комплекса в слое с молекулами  $\text{EtOH}$  (b). Атомы  $\text{O}(1\text{b})$  молекулы  $\text{EtOH}$  образуют также сильную H-связь с молекулой второго комплекса —  $\text{O}(1\text{b})-\text{H}(1\text{b})\dots\text{O}(4)$  при расстоянии  $\text{O}(1\text{b})\dots\text{O}(4)=2,662(4)$  Å и угле  $\text{O}(1\text{b})\text{H}(1\text{b})\text{O}(4)=141,7^\circ$ , способствующую образованию цепочек вдоль оси  $x$ . Водородные связи с атомами азота соседней молекулы комплекса более слабые:  $\text{O}(1\text{b})\dots\text{H}(7)-\text{N}(7)$  и  $\text{O}(1\text{b})\dots\text{H}(8)-\text{N}(8)$  ( $\text{O}(1\text{b})\dots\text{N}(7)=3,039(4)$ ,  $\text{O}(1\text{b})\dots\text{N}(8)=3,024(4)$  Å, углы  $\text{O}(1\text{b})\text{H}(7)\text{N}(7)=155,8^\circ$ ,  $\text{O}(1\text{b})\text{H}(8)\text{N}(8)=155,3^\circ$ ). Следовательно, структура I состоит из цепочек молекул комплекса  $[\text{Zn}(\text{HL})\text{Cl}]$ , образованных за счет водородных связей с молекулами  $\text{EtOH}$ .

Результаты работы свидетельствуют о возможности получения новых разнолигандных комплексов  $d$ -элементов, содержащих анионы  $\text{HL}^-$ .

Авторы выражают благодарность Д.Ю. Наумову за проведение рентгеноструктурного эксперимента.

#### СПИСОК ЛИТЕРАТУРЫ

- Чугаев Л.А. Химия комплексных соединений. – Л.: Наука, 1979.
- Пешкова В.М. Оксимы. – М.: Наука, 1977.
- Mehrotra R.C., Rai A.K., Singh A., Bohra R. // Inorg. Chim. Acta. – 1975. – **131**, № 1. – P. 91 – 103.
- Chaudhari P. // Coord. Chem. Rev. – 2003. – **243**. – P. 143 – 190.
- Ларионов С.В., Ткачев А.В. // Рос. хим. журн. – 2004. – **48**, № 4. – С. 154 – 165.
- Ларионов С.В. // Координац. химия. – 2012. – **38**, № 1. – С. 1 – 23.
- Савельева З.А., Клевцова Р.Ф., Глинская Л.А. и др. // Координац. химия. – 2006. – **32**, № 11. – С. 816 – 822.
- Савельева З.А., Ткачев А.В., Глинская Л.А. и др. // Координац. химия. – 2009. – **35**, № 2. – С. 130 – 137.
- Ларионов С.В., Ткачев А.В., Савельева З.А. и др. // Координац. химия. – 2006. – **32**, № 4. – С. 261 – 272.
- Popov S.A., Shakirov M.M., Tkachev A.V., De Kimpe N. // Tetrahedron. – 1997. – **53**, N 52. – P. 17735.
- Sheldrick G.M. SHELX-97, Release 97-2, Gottingen (Germany):Univ. of Gottingen, 1998.
- Бацанов С.С. // Журн. неорг. химии. – 1991. – **36**, № 12. – С. 3015 – 3037.